

تأثیر عملیات زیر صفر عمیق بر سختی و رفتار سایشی فولاد DIN1.2344

بهنام مکاریان خوزانی^۱، کامران امینی^{۲*}^۳، حمید غیور^۴

چکیده

عملیات زیرصفر، عملیات تکمیلی است که بر روی انواع فولادهای ابزار، فولادهای کربن دهی شونده، تندیر، با هدف بهبود مقاومت سایشی و سختی انجام میگردد. در این پژوهش تاثیر عملیات زیر صفر عمیق بر روی رفتار سایش سرد، سختی و ریزساختار فولاد گرم کار ۱.۲۳۴۴ مورد بررسی قرار گرفته است. به این منظور نمونه‌ها پس از پیشگرم در دمای 80°C به مدت ۲۰ دقیقه و سپس عملیات آستنتیه در دمای 1050°C به مدت زمان ۵۰ دقیقه در روغن کوئنچ گردیدند. برای بررسی تاثیر عملیات زیرصفر، بعضی از نمونه‌ها تحت عملیات زیرصفر در محیط نیتروژن مایع به مدت ۲۴ ساعت قرار گرفتند. نتایج نشان داد، میزان آستنتیت باقیمانده از ۸٪ در نمونه کوئنچ به میزان بسیار کم در نمونه زیرصفر شده می‌رسد. همچنین نتایج نشان داد که عملیات زیر صفر عمیق، منجر به افزایش سختی و افزایش مقاومت در برابر سایش به ترتیب به میزان ۲۵٪ و ۴۹٪ در مقایسه با نمونه کوئنچ-تمپر می‌گردد. دلیل بهبود سختی و مقاومت به سایش در نمونه‌های زیرصفر شده کاهش در مقدار آستنتیت باقیمانده، رسوب کاربیدهای ریز و نانومتری، توزیع بهتر کاربیدها و افزایش درصد کاربیدها است. همچنین بررسی سطوح سایش حاکی از آن است که مکانیزم غالب سایش، چسبان و تربیبوشیمیایی است و ذرات جداسده از سطح در نمونه زیرصفر شده ریزتر می‌باشند.

واژه‌های کلیدی: آستنتیت باقیمانده، سختی، عملیات زیر صفر عمیق، فولاد DIN1.2344، مقاومت سایشی.

۱- دانشجوی کارشناسی ارشد مهندسی مواد، مرکز تحقیقات مواد پیشرفت، دانشکده مهندسی مواد، واحد نجف آباد، دانشگاه آزاد اسلامی، نجف آباد، ایران

۲- دانشیار، مرکز تحقیقات مواد پیشرفت، دانشکده مهندسی مواد، واحد نجف آباد، دانشگاه آزاد اسلامی، نجف آباد، ایران

۳- دانشیار، دانشکده مهندسی مکانیک، واحد تبران، دانشگاه آزاد اسلامی، تبران، اصفهان، ایران

۴- استادیار، مرکز تحقیقات مواد پیشرفت، دانشکده مهندسی مواد، واحد نجف آباد، دانشگاه آزاد اسلامی، نجف آباد، ایران

*- نویسنده مسئول مقاله: K_amini@iautiran.ac.ir

۱- ما بین -80°C تا -120°C -که به آن اصطلاحاً سردکاری سطحی^۱ گفته می شود و عموماً توسط یخچال های دارای کمپرسورهای قوی و یا قرار دادن نمونه در یخ خشک انجام می شود.

۲- ما بین -120°C تا -195°C - که به آن اصطلاحاً سردکاری عمیق^۲ گفته می شود و توسط قراردادن نمونه در محفظه های حاوی نیتروژن مایع انجام می شود[۱].

بیشترین افزایش در خواص زمانی حاصل می شود که عملیات زیر صفر، بالا فاصله بعد از کوئنچ و قبل از تمپر انجام شود. دو پدیده استحاله آستنیت باقیمانده به مارتنتزیت و رسوب کاربیدهای بسیار ریز، عوامل اصلی در افزایش خواص در عملیات زیر صفر می باشند[۱].

در عملیات زیر صفر عمیق تبدیل آستنیت باقیمانده به مارتنتزیت^۳ و تشکیل کاربیدهای بسیار ریز با توزیع یکنواخت تر^{۴-۱} دو عامل اصلی در بهبود سختی و مقاومت سایشی می باشند. رسوب کاربیدهای ریز در عملیات زیر صفر، می تواند ناشی از دو عامل دانسیته بالای نابجایی ها که در ارتباط با کرنش حاصله ناشی از تبدیل آستنیت باقیمانده به مارتنتزیت و یا ناشی از تفاوت انقباض حرارتی فاز زمینه با فاز کاربید در حین سرد کردن تا دمای نیتروژن مایع و خوشای شدن اتم های کربن در اطراف نابجایی ها برای کاهش انرژی نهایی سیستم باشد.

D2 در تحقیقی که امینی و همکارانش^[۵] روی فولاد Fe-12Cr- Mo-V-1.4C با استفاده از آزمون نمونه بر روی چرخ^۳ بهبود مقاومت سایشی را به میزان ۱۱۰٪/۶۰۰ در سرعت های مختلف گزارش کرد. منگ همچنین نشان داد علی رغم عدم تغییر درصد مارتنتزیت در دمای 0°C -۵۰ و 185°C - مقاومت سایشی در نمونه ای که عملیات سرد عمیق بر روی آن انجام شده به دلیل رسوب کاربیدهای ریز ۶ بهبود بیشتری می یابد[۶]. دلیل رسوب این کاربیدها در انقباض شبکه و وارد کردن فشار به اتم های

پیشگفتار

در فولادها با افزایش درصد کربن و عناصر آلیاژی، دمای شروع و پایان استحاله مارتنتزیتی کاهش پیدا می کند. حتی ممکن است در فولادهای پرآلیاژ و با کربن بالا، دمای پایان استحاله مارتنتزیتی به کمتر از صفر درجه سانتی گراد برسد [۱]. به همین دلیل، بعد از کوئنچ تا دمای محیط در ساختار فولاد آستنیت باقیمانده وجود خواهد داشت. آستنیت باقیمانده فازی نرم است که باعث کاهش سختی، مقاومت سایشی و پایداری ابعادی می گردد[۱]. آستنیت باقیمانده فازی است ناپایدار که در شرایط کاری و اعمال تنفس ممکن است به مارتنتزیت تبدیل شود. مارتنتزیت تازه تشکیل شده، تمپر نشده می باشد و بنابراین بسیار ترد و شکننده است. همچنین استحاله مذکور همراه با حدود ۴٪ افزایش حجم است. این افزایش حجم ناخواسته می تواند منجر به اعوجاج و ناپایداری ابعادی گردد[۳-۲]. بنابراین، یکی از موضوعات مهم در عملیات حرارتی فولادها کاهش و یا حذف آستنیت باقیمانده است. در عملیات حرارتی متداول با طراحی مناسب سیکل عملیات حرارتی بازگشت می توان آستنیت باقیمانده را کاهش داد؛ اما به سبب نرم شدن ساختار و رشد کاربیدها، با انجام این عملیات سختی و استحکام فولاد کاهش می یابد. در نتیجه استفاده از عملیات تمپر جهت کاهش آستنیت باقیمانده چندان مناسب نمی باشد. یکی از روش های دیگر برای کاهش و یا حذف آستنیت باقیمانده استفاده از عملیات زیر صفر است[۴].

عملیات حرارتی سرد کردن زیر صفر عبارت است از سرد کردن آهسته قطعه از دمای اتاق با نرخ کم ($2.5^{\circ}\text{C}/\text{min}$) تا دمای های کمتر از دمای اتاق، نگهداری در آن دما برای زمان های طولانی (۲۴ ساعت یا بیشتر) و سپس گرم کردن قطعه تا دمای اتاق به شکل آهسته برای جلوگیری از هرگونه شوک حرارتی[۱]. عملیات سرد کردن زیر صفر در دو محدوده دمایی کاملاً متفاوت بر روی قطعات انجام می شود:

1-Shallow cryogenic heat treatment

2-Deep cryogenic heat treatment

3-Sample on wheel

حاضر تاثیر عملیات زیرصفر عمیق بر سختی، رفتار سایش و ریز ساختار این فولاد بررسی خواهد شد.

مواد و روش‌ها

ترکیب شیمیایی فولاد DIN1.2344 در جدول ۱ آورده شده است. عملیات حرارتی نمونه‌ها شامل عملیات پیشگرم در دمای 800°C به مدت ۲۰ دقیقه و سپس آستنیت نمودن نمونه‌ها در دمای 1050°C و به مدت زمان ۵۰ دقیقه و نهایتاً کوئنچ در روغن بود. سپس بعضی از نمونه‌ها بعد از کوئنچ تحت عملیات حرارتی تمپر در دمای 600°C به مدت ۱ ساعت قرار گرفتند (نمونه کوئنچ-تمپر) (QT). به منظور بررسی تاثیر عملیات زیرصفر عمیق، بعضی از نمونه‌ها در زمان ۲۴ ساعت در نیتروژن مایع نگهداری شدند و سپس تحت عملیات تمپر قرار گرفتند (نمونه کوئنچ-زیرصفر-تمپر) (QCT). نمونه‌ها پس از انجام فرایند مذکور و به منظور از بین بردن اکسیدهای سطحی و دقت در محاسبه سختی و دست یابی به سطحی صاف و صیقلی، بلا فاصله تا سمباده ۱۲۰۰ سمباده زده شده و زبری سطح آن‌ها به $0.3\text{ }\mu\text{m}$ رسانیده شد. اندازه‌گیری سختی نمونه‌ها به روش ویکرز با استفاده از دستگاه سختی سنجی Dia Tester 2 RC-S ساخت کشور آلمان با بار اعمالی ۳۰۰ نیوتون انجام گردید. برای تعیین فازها و درصد فازها از روش تفرق اشعه X با استفاده از دستگاه Philips PW3710 ساخت کشور هلند و تابش $\lambda = 0.1542\text{ nm}$ CuK_{α} و مطابق با استاندارد ASTM E975 استفاده شد [۹]. بدین منظور نمونه‌ها در ابعاد مناسب تهیه و با استفاده از نرم افزار X'Pert، فازهای موجود تعیین شد. با استفاده از رابطه‌ی (۱) میزان آستنیت باقیمانده محاسبه شد. که در آن $I_{hkl\gamma}^{hklM}$ و $I_{hkl\gamma}^{hkl\gamma}$ شدت پیک (hkl) آستنیت و مارتنتزیت و $R_{hkl\gamma}^{hkl\gamma}$ و R_{hklM}^{hklM} فاکتورهای شدت نسبی مربوط به صفحات کریستالوگرافی است.

$$\gamma (\%) = \frac{I_{hkl\gamma}^{hkl\gamma} / R_{hkl\gamma}^{hkl\gamma}}{\left[\left(I_{hkl\gamma}^{hkl\gamma} / R_{hkl\gamma}^{hkl\gamma} \right) + \left(I_{hkl,M}^{hkl,M} / R_{hkl,M}^{hkl,M} \right) \right]} \quad (1)$$

کربن در ترک محلهای اولیه می‌باشد. این کاربیدها باعث افزایش استحکام و چقرمگی فولاد می‌شوند [۶-۷]. براساس مطالعاتی که توسط Huang بر روی فولاد M2 انجام گردید [۷] بهبود در مقاومت سایشی قطعات عملیات زیرصفر شده نسبت به نمونه‌های بدون عملیات زیرصفر می‌تواند ناشی از استحاله آستنیت باقیمانده به مارتنتزیت و رسوب کاربیدهای آلیاژی باشد. با توجه به میزان کم آستنیت باقیمانده در این فولاد نقش عامل دوم بالاتر است. بررسی Huang نشان داد که دو عامل زیر در افزایش مقاومت سایشی در اثر رسوب کاربیدهای آلیاژی در نمونه‌ای که تحت عملیات زیرصفر قرار گرفته است مؤثر بوده است: ۱- توزیع کاربیدهای آلیاژی در نمونه‌های عملیات زیرصفر شده نسبت به نمونه‌های بدون عملیات زیرصفر بالاتر است.

۲- کسر حجمی کاربیدها در نمونه‌های زیرصفر شده دو برابر نمونه‌های عملیات حرارتی متداول است. رسوب گذاری بیشتر کاربیدها که در اثر عملیات حرارتی زیرصفر ایجاد می‌شود باعث فقیر شدن زمینه از عناصر آلیاژی و کربن می‌شود و بدین ترتیب تافنس زمینه اصلاح می‌گردد. عقیده دارد ترکیب بهینه از کاربیدهای رسوب کرده بیشتر و فاز زمینه با چقرمگی بالاتر عامل اصلی در بهبود مقاومت سایشی فولاد M2 است. در اثر عملیات زیرصفر بهبود در سختی [۱۰]، مقاومت سایشی [۱۱] و پایداری ابعادی [۱۱] به دلیل تبدیل آستنیت باقیمانده به مارتنتزیت و رسوب کاربیدهای ریز، توزیع مناسب تر این کاربیدها و افزایش کسر حجمی کاربیدها رخ می‌دهد. اگرچه تحقیقات امینی و همکاران در مورد فولاد ابزار D2 نشان داده است که در اثر افزایش کسر حجمی کاربیدها در عملیات زیرصفر عمیق، زمینه از عنصر کروم تخلیه شده و لذا مقاومت خودگی کاهش می‌یابد [۸].

فولاد DIN1.2344 فولاد گرم کار می‌باشد و در ساخت اجزا قالب، ماتریس‌ها و سنبه‌ها کاربرد وسیعی دارد. از آنجا که تاکنون تحقیقات اندکی در زمینه عملیات زیرصفر عمیق این نوع فولاد انجام شده است. در تحقیق

جدول ۱- ترکیب شیمیایی فولاد ۱/۲۳۴۴ (درصد وزنی)

C	Si	Mn	Cr	Mo	V	Ni	Fe
۰/۴۲	۱/۱	۰/۳۵	۵/۰	۱/۴	۱/۰	۰/۳۰	۹۰/۴

این الگو به خوبی قابل مشاهده است، درصد آستنیت باقیمانده با انجام عملیات زیر صفر عمیق به مدت ۲۴ ساعت کاهش یافته است. درصد فاز آستنیت باقیمانده در جدول ۲، با استفاده از رابطه ۱ محاسبه شده است. همان گونه که مشخص است میزان آستنیت باقیمانده از ۸٪ در نمونه کوئنچ، به مقادیر بسیار کم در نمونه زیرصفر شده رسیده است. کاهش در مقدار آستنیت باقیمانده در اثر عملیات زیرصفر بر روی فولادهای دیگر نیز اثبات شده است [۱۰-۳ و ۴-۶].

در شکل ۲ ریز ساختار نمونه‌های کوئنچ- تمپر (QT) و کوئنچ- زیرصفر- تمپر (QCT) آورده شده است. همان گونه که از بررسی تصاویر مشخص است در اثر عملیات زیرصفر، کاربیدها افزایش، ریزتر و توزیع مناسب تری یافته‌اند. بنابراین در عملیات زیرصفر افرون بر حذف یا کاهش در مقدار آستنیت باقیمانده، کاربیدهای بسیار ریزی نیز رسوبر می‌نمایند که دارای توزیع مناسب تری نیز در مقایسه با کاربیدهای نمونه کوئنچ- تمپر می‌باشند. دلیل رسوبر این کاربیدها آن است که به واسطه سرد کردن مارتزیت تا دمای بسیار پایین، استحاله آستنیت باقیمانده به مارتزیت و تفاوت در ضریب انقباض حرارتی فازهای مختلف، تنش‌های داخلی افزایش می‌باید و بنابراین عیوب کریستالی نظیر نابجایی و دوقلویی به وجود می‌آید. از طرفی با کاهش دما تا دمای ۱۹۶- درجه سانتیگراد، پارامتر شبکه کریستالی مارتزیت تمایل به کاهش دارد و بنابراین فوق اشیاع در مارتزیت با کاهش دما، افزایش می‌باید [۵-۶] و لذا اعوجاج شبکه‌ای و ناپایداری ترمودینامیکی در مارتزیت افزایش پیدا می‌کند. هردو عامل ذکر شده در بالا، نیروی حرکه‌ای برای خروج اتم‌های کربن از مارتزیت و قرار گیری این اتم‌ها در اطراف عیوب کریستالی برای کاهش انرژی نهایی سیستم

متالوگرافی نمونه‌ها با استفاده از روش‌های متداول سمباده زنی و پولیش با امولسیون دستگاه حاوی آلومینی ۰/۵ μm ، انجام گرفت. برای اج کردن نمونه‌ها و بررسی ساختار توسط SEM از محلول اج نایتل ۲/۵٪ استفاده شد.

تست سایش سرد بر روی نمونه‌ها با استفاده از گلوله‌ی کاربید تنگستنی و به روش پین روی دیسک با بار ۶۰ نیوتن، به مسافت ۱۰۰۰ متر در رطوبت هوای $5 \pm 5\%$ و دمای $25 \pm 5^\circ\text{C}$ برای سایش سرد و دمای $400 \pm 10^\circ\text{C}$ برای سایش گرم انجام شد؛ نرخ سایش و مقاومت سایش نمونه‌ها با استفاده از رابطه‌ی (۲) (که در آن Wr نرخ سایش ($\text{mg}/\text{N.m}$)، Δm کاهش جرم (mg)، ρ چگالی (g/cm^3)، F نیرو (N) و L مسافت سایش (m) و درصد افزایش مقاومت سایشی نمونه‌ها با استفاده از رابطه‌ی (۳) R_0 مقاومت نمونه‌ی عملیات حرارتی متداول شده و R_i مقاومت سایشی نمونه‌ی مورد نظر)، محاسبه شد. همچنین برای بررسی سطح سایش Philips XI30 ساخت کشور هلند استفاده گردید.

$$Wr = \frac{\Delta m}{f \times l \times \rho} \quad (2)$$

$$\frac{R_i - R_0}{R_0} \times 100 = \frac{R_i - R_0}{R_0} \times 100 \quad (3)$$

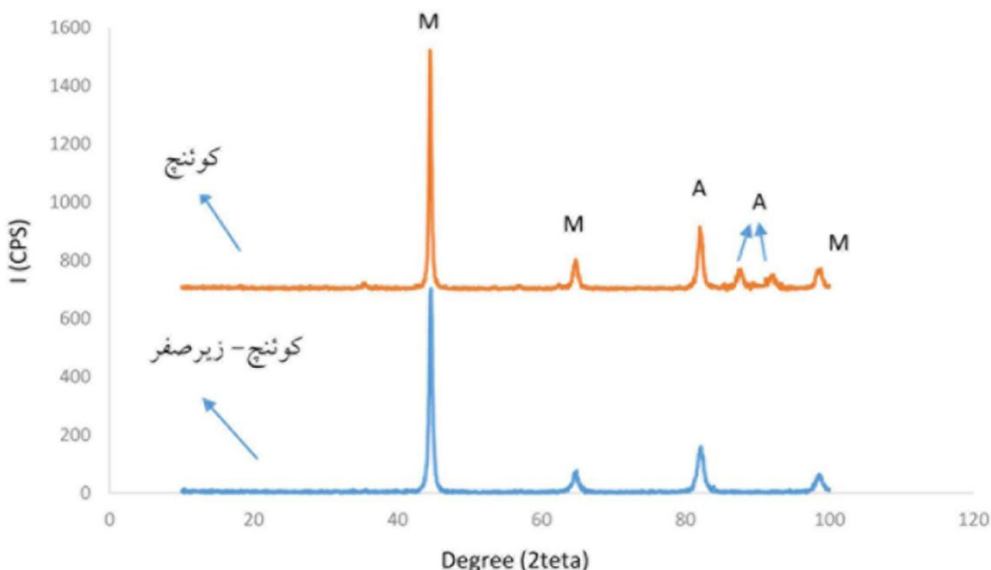
نتایج و بحث

بررسی ریزساختار

الگوی پراش پرتوی ایکس نمونه‌های مورد بررسی قرار گرفته در شکل ۱ آورده شده است؛ همان‌گونه که در

چون دما پایین‌تر است، رسوبات کاربید ریزتر و توزیع مناسب‌تری دارند. در عملیات زیر صفر دو مرحله اساسی وجود دارد: در مرحله اول که تا دمای ۱۳۰- درجه سانتیگراد باقیمانده به مارتنزیت انجام می‌شود، استحاله آستنیت باقیمانده به نیتروژن مایع انجام می‌شود، تجزیه ایزوترمال مارتنزیت اولیه صورت می‌پذیرد که علی‌رغم نرم شدن ساختار، جوانه‌هایی برای رسوب کاربیدهای نانومتری ایجاد می‌شود. کاربیدهای ذکر شده به علاوه تاثیر بر افزایش سختی باعث بهبود مقاومت سایشی می‌گردند [۱۳]. این کاربیدها نقش اصلی را در بهبود مقاومت سایشی و افزایش سختی در نمونه‌های زیرصفر عمیق، ایفا می‌کنند.

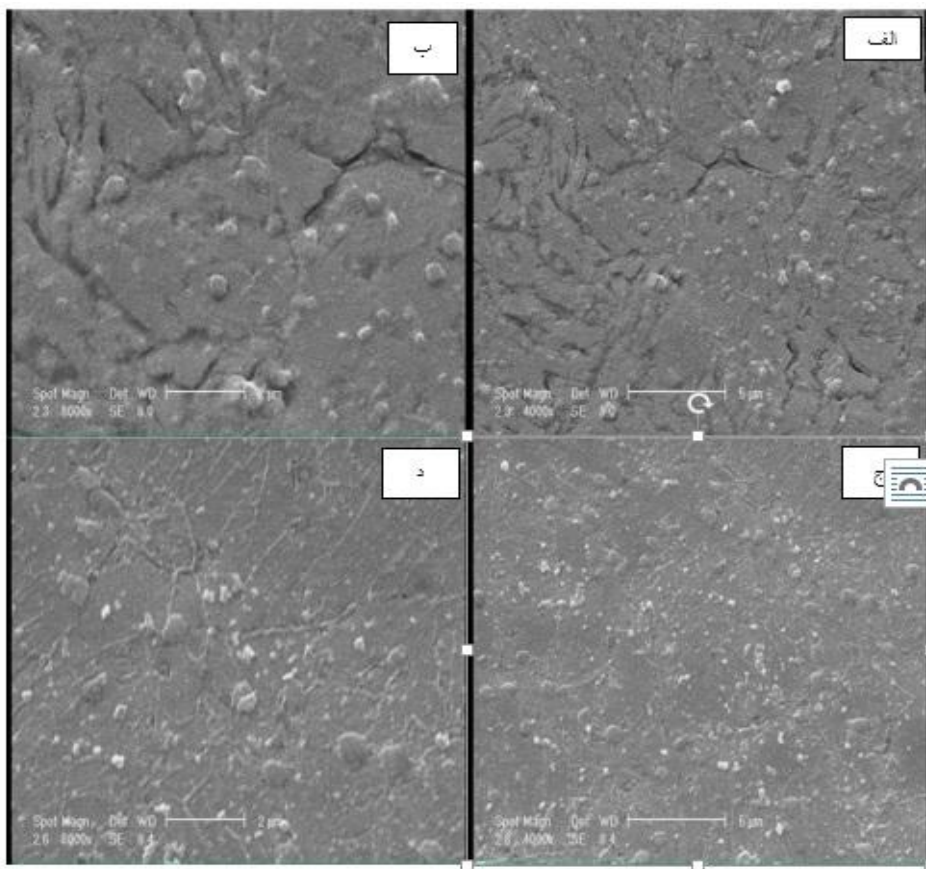
می‌باشند [۱۳-۱۶ و ۱۱-۵]. به دلیل آن که ضریب نفوذ اتم‌های کربن در دمای ۱۹۶- درجه سانتیگراد بسیار پایین است قرار گیری اتم‌های کربن در اطراف عیوب کربیستالی بسیار سخت و رسوب کاربیدهای ریز، غیر ممکن است؛ اما در گرم کردن نمونه از دمای زیرصفر تا دمای محیط، ضریب نفوذ کربن افزایش یافته و بنابراین اتم‌های کربن با پس زده شدن از شبکه کربیستالی مارتنزیت، و انجام نفوذ بسیار کم دامنه موجب ایجاد خوش‌های ریز در اطراف عیوب کربیستالی شده و در ادامه باعث تشکیل کاربیدهای بسیار ریز می‌شوند. فرآیند تشکیل رسوب در عملیات زیرصفر عمیق شامل تجزیه مارتنزیت و ایجاد کاربیدهای ریز بسیار شبیه به فرآیند تمپر (در نمونه‌های کوئنچ- تمپر) می‌باشد با این تفاوت که



شکل ۱- الگوی پراش پرتوی ایکس نمونه کوئنچ و کوئنچ- زیرصفر

جدول ۲- درصد فاز آستنیت باقیمانده در نمونه‌های مختلف

نمونه	کوئنچ	کوئنچ- زیرصفر
درصد آستنیت باقیمانده	%۸	کمتر از حد تشخیص دستگاه



شکل ۲- تصاویر تهیه شده توسط میکروسکوپ الکترونی روبشی از ریز ساختار نمونه‌ها:

الف و ب) کوئنج- تمپر(QT) در بزرگنمایی‌های مختلف، ج و د) کوئنج- زیرصفر- تمپر(QCT) در بزرگنمایی‌های مختلف

بررسی سختی و رفتار سایشی نمونه‌ها

افزایش سختی در ارتباط با استحالة آستنیت باقیمانده به مارتنتزیت و رسوب کاربیدهای ثانویه در عملیات زیرصفر عنوان شده است [۱۴]. در تحقیق دیگری که توسط اخباری زاده و همکارانش بر روی فولاد D6 انجام پذیرفت، افزایش در سختی راکول سی(سختی بالک) در عملیات زیرصفر سطحی و عمیق در مقایسه با عملیات حرارتی متداول به ترتیب $1/6$ ٪ و $2/3$ ٪ بود. آن‌ها دلیل افزایش سختی را در ارتباط با استحالة آستنیت باقیمانده به مارتنتزیت و رسوب کاربیدهای ثانویه در عملیات زیرصفر دانسته‌اند [۱۵].

بر اساس جدول ۳، مشاهده می‌گردد که با انجام عملیات زیر صفر عمیق به مدت ۲۴ ساعت، سختی نمونه‌ها افزایش یافته است. دلیل این موضوع کاهش در مقدار آستنیت باقیمانده، افزایش کسر حجمی کاربیدها، توزیع مناسب‌تر و ریز شدن آن‌ها است. در تحقیقی که بر روی فولاد D2 انجام پذیرفت، افزایش در سختی ویکرز (سختی بالک) در عملیات زیرصفر سطحی و عمیق در مقایسه با عملیات حرارتی متداول به ترتیب $2/5$ ٪ و $4/2$ ٪ بود. دلیل

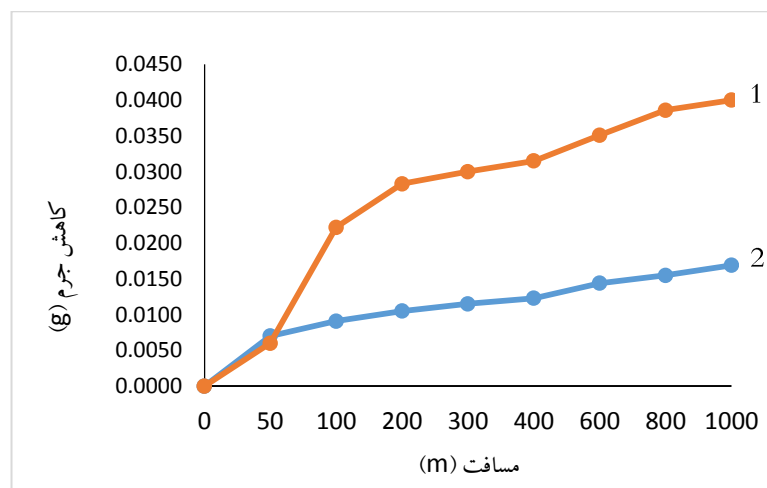
جدول ۳- سختی براساس نوع عملیات انجام شده

سختی بعد از عملیات حرارتی تمپر (HV 30)	سختی پس از کوئنچ یا پس از کوئنچ- زیرصفر (HV 30)	نمونه
416 ± 19	485 ± 15	QT
521 ± 8	582 ± 6	QCT

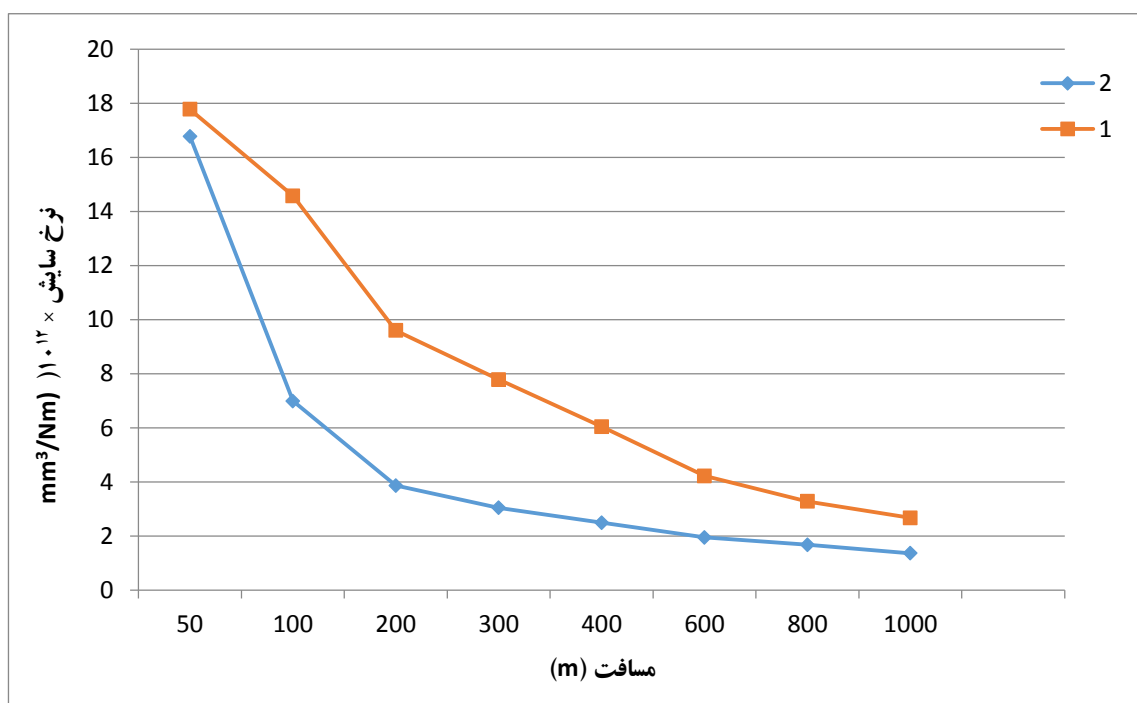
نرم، افزایش در درصد کاربیدهای آلیاژی و توزیع یکنواخت‌تر و همگن‌تر این رسوبات می‌باشد. رسوب کاربیدهای ریز، سبب کاهش درصد کربن و عناصر آلیاژی در فاز زمینه می‌شود. بنابراین، چقرمگی فاز زمینه افزایش می‌یابد. مجموعه رسوب کاربیدهای ریز سخت و افزایش چقرمگی زمینه (مارتنزیت) باعث کاهش نرخ سایش در عملیات زیرصفر عمیق می‌گردد [۶-۱۱]. در تحقیقی که بر روی فولاد D6 انجام پذیرفت، افزایش در مقاومت سایشی در عملیات زیرصفر سطحی و عمیق در مقایسه با عملیات حرارتی متداول (کوئنچ- تمپر) به ترتیب ۱۱٪-۵٪ و ۳۹%-۶۸٪ بود. دلیل افزایش مقاومت سایشی در ارتباط با استحاله بخشی از آستنیت باقیمانده به مارتنزیت در عملیات زیرصفر سطحی و تبدیل کامل آستنیت باقیمانده به مارتنزیت و رسوب کاربیدهای ثانویه در عملیات زیرصفر عمیق عنوان شده است [۱۵].

همچنین همان گونه که از نتایج آزمون سایش (شکل ۳ و ۴) مشخص است در اثر عملیات زیرصفر، مقاومت سایشی بهبود یافته است. نتایج نشان می‌دهد که مقاومت سایشی در نمونه عملیات زیر صفر شده عمیق به مدت ۲۴ ساعت به میزان ۴۹٪ افزایش یافته است. دلیل این بهبود، حذف یا کاهش آستنیت باقیمانده و توزیع مناسب‌تر، ریزشدن و افزایش کسر حجمی کاربیدها می‌باشد. همچنین شکل ۴ نشان می‌دهد که در اثر افزایش مسافت و به دلیل کار سرد شدن لایه‌های تحت سایش از نرخ کاهش وزن یا سایش بر حسب مسافت کاسته می‌شود [۱۶].

دلیل افزایش مقاومت سایشی در عملیات زیرصفر عمیق، علاوه بر حذف آستنیت باقیمانده به عنوان یک فاز



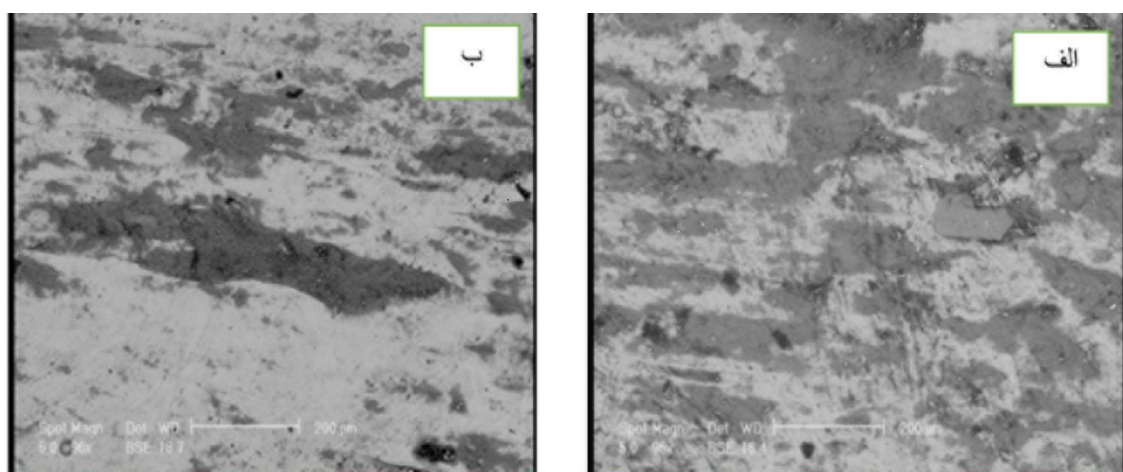
شکل ۳ - نمودار کاهش جرم بر حسب مسافت در آزمون سایش برای نمونه‌های: ۱) QT و ۲) QCT



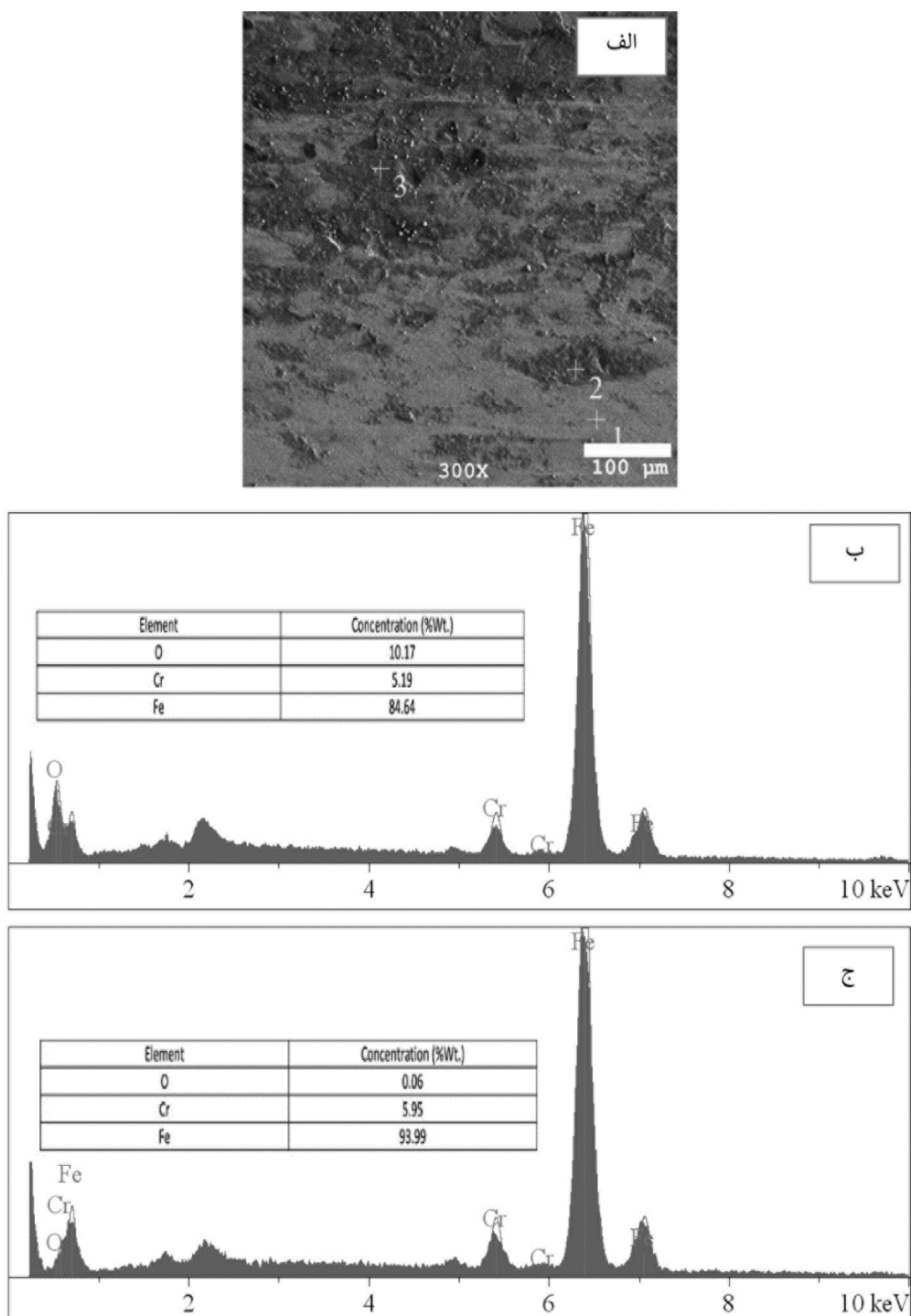
شکل ۴- نمودار نرخ سایش بر حسب مسافت در آزمون سایش برای نمونه‌های ۱) QT و ۲) QCT

دانسته‌اند [۱۹-۲۰]. با توجه به موارد ذکر شده، در نمونه‌هایی که تحت عملیات زیر صفر عمیق قرار می‌گیرند، به واسطه افزایش کسر حجمی کاربیدها و ریز شدن آن‌ها و نهایتاً افزایش سختی (به دلیل افزایش درصد مارتنزیت و رسوبات کاربیدی ریز)، سایش چسبان کاهش می‌یابد. از طرفی ریز شدن کاربیدها باعث کاهش تنش‌های داخلی و لذا کاهش تمایل به ایجاد ترک‌های ریز و بهبود مقاومت سایشی می‌شود [۶-۷]. محصولات سایش نیز پس از آزمون سایش مورد مطالعه قرار گرفتند. تصاویر میکروسکوپ الکترونی روبشی مطالعه گردید (شکل ۵). ترد بودن این محصولات را به خوبی نشان می‌دهد. ترد بودن محصولات سایش با وجود لبه‌های تیز و عدم وجود سوراخ‌های حاصل از تغییر فرم نرم تایید می‌شود. در نمونه زیر صفر شده همانطوریکه مشاهده می‌گردد بدلیل سختی و تردی بالاتر در مقایسه با نمونه کوئنچ-تمپر، ذرات حاصل از سایش کوچکتر می‌باشند. این موضوع در تحقیق سایر محققان نیز مشاهده شده است [۱۴].

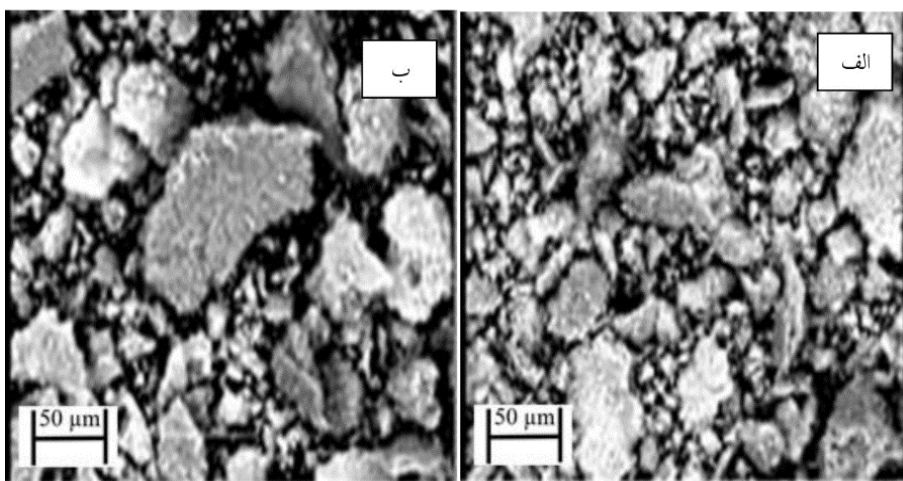
برای تعیین مکانیزم سایش، سطح سایش نمونه‌ها توسط میکروسکوپ الکترونی روبشی مطالعه گردید (شکل ۵). همان گونه که از تصویر ۵ مشخص است مکانیزم سایش در نمونه‌ها سایش چسبان است و در اثر عملیات زیر صفر عمیق از میزان سایش چسبان کاسته شده است. همچنین مکانیزم سایش تربو شیمیابی ناشی از بالا رفتن دما در سطوح سایش و اکسید شدن این سطوح وجود دارد. بررسی ترکیب شیمیابی این سطوح (شکل ۶) حضور اکسیژن بسیار بالاتر را در لایه‌های چسبنده به سطح سایش (منطقه ۳ در مقایسه با منطقه ۱ در شکل ۶) نشان می‌دهد. در مطالعاتی که توسط Fantalvo و همکارانش بر روی فولادهای ابزار انجام پذیرفت، افزایش کسر حجمی و کاهش فاصله بین کاربیدها باعث کاهش سایش چسبان شده است [۱۷]. همچنین سایش چسبان دارای تناسب مستقیم با نیروی اعمالی و تناسب عکس با سختی است [۱۸]. Yang و همکارانش افزایش سختی در سطح فولاد را عامل اصلی در مقاومت به سایش چسبان



شکل ۵- تصویر تهیه شده توسط میکروسکوپ الکترونی روبشی از سطح سایش دیسک، الف و ب) QT ، ج و د) QCT در بار اعمالی ۶۰ N



شكل ۶- (الف) سطح سایش و ب و ج) ترکیب شیمیایی در سطح سایش نمونه کوئنچ- تمپر : ب) مربوط به نقطه ۳ و ج) مربوط به نقطه ۱



شکل ۷- تصویر تهیه شده توسط میکروسکوپ الکترونی روبشی از ذرات سایش (الف) نمونه‌ی QCT ، (ب) نمونه‌ی QT

نتیجه‌گیری

۳- در اثر انجام عملیات زیرصغر عمیق، سختی و مقاومت سایشی به ترتیب به اندازه 0.25% و 49% بهبود می‌یابد. دلیل این امر در ارتباط با کاهش در مقدار آستنیت باقیمانده و رسوب کاربیدهای ریز، توزیع مناسب‌تر و افزایش درصد این کاربیدها است.

۴- بررسی سطوح سایش حاکی از آن است که مکانیزم غالب سایش، چسبان و تربیوشیمیایی است. در اثر عملیات زیرصغر به دلیل افزایش سختی، سایش چسبان کاهش می‌یابد. همچنین ذرات حاصل از سایش در نمونه زیرصغر شده ریزتر است.

۱- عملیات زیرصغر باعث کاهش در مقدار آستنیت باقیمانده می‌شود. به نحوی که درصد آستنیت باقیمانده از 1% در عملیات حرارتی کوئنچ در روغن به کمتر از 1% در عملیات کوئنچ در روغن- زیرصغر عمیق می‌رسد.

۲- با توجه به مطالعات انجام گرفته عملیات زیرصغر باعث ریز شدن کاربیدها می‌شود. در اثر عملیات زیرصغر توزیع مناسب‌تری از این کاربیدهای ریز ثانویه ایجاد و کسر حجمی این کاربیدها افزایش می‌یابد. بنابراین، عملیات زیرصغر عمیق نیروی محركه‌ای ایجاد کاربیدهای بسیار ریز است.

References:

- 1-K. Amini, A. Akhbarizadeh, S. Javadpour "Cryogenic heat treatment of the ferrous materials – a review of the current state", Metallurgical Research and Technology, Vol. 113, No. 6, pp. 3244-3256, 2016.
- 2-Y. Dong, X. Lin, and H.S. Xiao, "Deep Cryogenic Treatment of High-Speed Steel and Its Mechanism", Heat Treatment of Metals, Vol. 25, pp. 55-59. 1998.
- 3-K. Amini, A. Akhbarizadeh, S. Javadpour "Effect of deep Cryogenics treatment of nano-size carbides and the wear behavior of D2 tool steel", International Journal of Minerals Metallurgy and Materials, Vol. 19, pp. 795-799, 2012.
- 4-D. Das, A.K. Dutta, V. Toppo, and K.K.Ray, "Effect of Deep Cryogenic Treatment on the Carbide Precipitation and

- Tribological Behavior of D2 Steel", Journal of Materials Manufacturing Process, Vol. 22, No. 4, pp. 474-480. 2007.
- 5-K. Amini, A. Akhbarizadeh, S. Javadpour "Investigating the effect of holding duration on the microstructure of 1/2080 tool steel during the deep cryogenic heat treatment", Vacuum, Vol. 85, No. 6, pp.1534-1540, (2012).
- 6-F. Meng, K. Tagashira, R. Azume, and H. Sohma, "Role of Eta-Carbide Precipitation in the Wear Resistance Improvements of Fe-12Cr-Mo-V-1.4C Tool Steel by Cryogenic Treatment", ISIJ International, Vol. 34, No. 2, pp. 205-210.1994.
- 7-J.Y. Huang, Y.T. Zhu, X.Z. Liao, I.J. Beyerlein, M.A. Bourke, and T.E. Mitchell, "Microstructure of CryogenicTreated M2 Tool Steel", Materials Science and Engineering A, Vol. 339, No. 1-2, pp. 241-244. 2003.
- 8-K. Amini, A. Akhbarizadeh, S. Javadpour" Effect of Carbide Distribution on Corrosion Behavior of the Deep Cryogenically Treated 1.2080 Steel", Journal of Materials Engineering and Performance, Vol. 25(2), pp. 364-373, 2016.
- 9-ASTM E975-00: Standard Practice for X-Ray Determination of Retained Austenite in Steel with near Random Crystallographic Orientation, ASTM Book of Standards, V 03.01, West Conshohocken, PA, United States, (2004).
- 9-H. Paydar, K. Amini, A. Akhbarizadeh "Investigating the effect of deep cryogenic heat treatment on the wear behavior of 100Cr6 alloy steel", Kovove Materialy - Metallic Materials, Vol. 52, pp. 163-169, 2014.
- 10-K. Amini, S. Nategh, A. Shafyei "Effect of deep cryogenic treatment on 80CrMo12 5 tool steel properties", International Journal of Minerals, Metallurgy and Materials, Vol. 12, No. 1, pp. 30-37, 2012.
- 11-K Amini, A. Akhbarizadeh, S. Javadpour " Investigating the effect of quench environment and deep cryogenic treatment on the wear behavior of AZ91", Materials and Design, Vol. 54, pp. 154-160, 2014.
- 12-P.F. Stratton "Optimizing Nano-Carbide Precipitation in Tool Steels", Materials Science and Engineering: A, Vol. 449-451, pp. 809-812, 2007.
- 13-D. Das, A.K. Dutta,K.K. Ray "Sub-Zero Treatments of AISI D2 Steel: Part II. Wear Behavior", Materials Science and Engineering: A, Vol. 527, No. 9, pp. 2194-2206, 2010.
- 14-A. Akhbarizadeh, A. Shafyei, M.A. Golozar "Effects of Cryogenic Treatment on Wear Behavior of D6 Tool Steel", Materials & Design, Vol. 30, No. 8, pp. 3259-3264, 2009.
- 15-K. Kato, K. Adachi, Wear Mechanisms. Chapter 7 of Modern Tribology Handbook, Ed. B. Bhushan, CRC Press. Boca Raton, 2001.
- 16-G.A. Fontalvo, R. Humer, C. Mitterer, K. Sammt, I. Schemmel "Microstructural Aspects Determining the Adhesive Wear of Tool Steels", Wear, Vol. 260, No. 9-10, pp. 1028-1034, 2006.
- 17-B. Bhushan, Introduction to Tribology, John Wiley & Sons. New York, NY, 2002.
- 18-J. Yang, Y. Liu, Z. Ye, D. Yang, S. He "Microstructural and Tribological Characterization of Plasma- and Gas-

Nitrided 2Cr13 Steel in Vacuum", Materials & Design, Vol. 32, pp. 808-814, 2011.

19- M. Aghakhani, A. Shafyei, M.A. Aghakhani "Effect of Deposition Regime

on Tribological Behavior of VK8Coating on 1.2344 Tool Steel Obtained by Electro Spark Method", Journal of Advanced Materials and Processing, Vol. 1, pp.21-28 , 2013.

